

زمانیابی ورود پرفشار سیبری به سواحل جنوبی دریای خزر

حسن یوسفی^{1*}، قاسم عزیزی²

۱- دانشآموخته کارشناسی ارشد اقلیم‌شناسی، دانشگاه تهران، تهران، ایران.
۲- استادیار دانشکده جغرافیا، دانشگاه تهران، تهران، ایران.

دریافت: 82/12/16 پذیرش: 83/11/5

چکیده

در این تحقیق زمانیابی ورود و آغاز فعالیت پرفشار سیبری به سواحل جنوبی دریای خزر با روش سینوپتیکی مطالعه شده است. در این مطالعه، داده‌های دمای حداقل و فشار سه ایستگاه انزلی، بابلسر و گرگان، طی دوره آماری 1971 الی 1980 م. برای ماههای سپتامبر، اکتبر، نوامبر و دسامبر، به عنوان ایستگاههای منتخب استفاده شد. معیار تشخیص پرفشار سیبری، حضور زبانه سامانه مذکور با خط هم فشار حداقل 1020 هکتوپاسکال در سواحل جنوبی دریای خزر، به شرط استقرار سلول مرکزی پرفشار سیبری در محدوده ۶۰ الی ۱۲۰° طول شرقی و ۴۰ تا ۶۰° عرض شمالی بوده است. بنابراین تغییرات دما و فشار ایستگاهها، همزمان با نفوذ زبانه‌های پرفشار سیبری به روی منطقه، به عنوان زمان ورود پرفشار سیبری به سواحل جنوبی خزر منظور شده است. بر این اساس، دهه دوم اکتبر برابر با دهه سوم ماه مهر با بیشترین فراوانی به میزان ۵۰ درصد در طول دوره آماری، به عنوان آغاز مرحله فعالیت پرفشار سیبری در منطقه شناخته شد.

کلید واژه‌ها: زمانیابی، پرفشار سیبری، سواحل جنوبی خزر، الگوی سینوپتیکی.

۱- مقدمه

E-mail: ghazizi@ut.ac.ir

*نویسنده مسؤول مقاله:



کشور ایران از نظر آب و هوایی در یک منطقه حدواسط قرار دارد این کشور در طول سال، مورد هجوم توده‌های هوایی مختلف از کانونهای گوناگون قرار می‌گیرد که با ایجاد تغییرات مکانی و زمانی، موجب تنوع اقلیمی در سطح کشور می‌شود. در واقع می‌توان گفت که ایران به دلیل شرایط جغرافیایی خاص، یعنی موقعیت آن در رابطه با گردش عمومی جو و قرارگرفتن آن در عرضهای جغرافیایی میانه، در فصول مختلف سال تحت تأثیر آنتی‌سیکلونهایی با منشأهای مختلف و خصوصیات فیزیکی گوناگون قرار می‌گیرد، برای تشخیص میزان تأثیر این شرایط هوایی بر اقلیم ایران، باید سعی شود تا منشأ این توده‌های هوایی، مسیر ورود، زمان ورود و خصوصیات فیزیکی (که این توده‌های هوایی با خود به ارمغان می‌آورند) دانسته شود^[1], ص 4.

در این میان سواحل جنوبی دریای خزر به عنوان یکی از قطبهای کشاورزی و توریستی کشور محسوب می‌شود که با توجه به وجود منابع طبیعی و معدنی آن و افزایش روزافزون جمعیت کشور، ضرورت اجرای طرحهایی در خصوص بهره‌برداری بهتر و بیشتر را در منطقه ایجاد می‌کند. بنابراین باید دانست که این برنامه‌ریزیها در صورتی موفق خواهد شد که مکانیسم و نقش سامانه‌های اصلی مؤثر بر اقلیم این منطقه بدرستی شناسایی شوند. از جمله سامانه‌هایی که در اقلیم منطقه مذکور منشأ اثر می‌باشد، پروفشوار سیبری است که راجع به میزان و نحوه تأثیر آن بر اقلیم منطقه، نظرهای متفاوتی بین اقلیم‌شناسان کشور مطرح شده است که تبیین هرچه بهتر نقش و جایگاه سامانه مذکور در اقلیم سواحل جنوبی دریای خزر، مستلزم آن است که دانسته شود تا سامانه مذکور از چه زمانی و در چه الگوهای سینوپتیکی وارد منطقه می‌شود. بنابراین می‌توان گفت که پژوهش حاضر به این منظور انجام شده است. لازم به ذکر است که درباره ماهیت و ویژگیهای پروفشوار سیبری و تأثیرات آن بر اقلیم مناطق مختلف، کارهای متعددی در خارج و داخل کشور انجام شده است. بوریسو در سال 1965م. کتابی تحت عنوان آب و هوای شوروی را تألیف کرد. او در این کتاب آثار پروفشوار سیبری را روی ناحیه مرکزی شوروی سابق مطالعه کرد. مطالعات او به طور عمدۀ متکی به بررسی دما و بارش ایستگاههای منطقه مطالعه شده بود^[2]. صص 95 - 96]. پاول لیدولف در سال 1977م. به بررسی علت اصلی تشکیل پروفشوار سیبری پرداخت و منشأ آن را در سرمای ناشی از بازتاب دانست. او همچنین افزایش فشار سلول مرکزی آن را ناشی از نفوذ توده هوای سرد قطبی در لایه‌های فوقانی جو نکر کرد.

لیدولف معتقد است پروفشار سیبری به هنگام افزایش فشار دارای گسترش افقی و نصفالنهاری بوده است که با ایجاد حالت مانع، در حرکت سیکلونها به طرف روسیه نقش مهمی بازی می‌کند [3، صص 123-125].

یوهی دینگ و کریشنامورتی در سال ۱۹۸۷م. طی تحقیقی با عنوان «شار گرمایی پروفشار سیبری و مونسون زمستان» اظهار داشتند که سرمای ناشی از بازتابش زمین و حرکت نزولی هوا در مقیاس بزرگ، در تشکیل سامانه مذکور مؤثر بوده است و اثر گرمای محسوس در تغییر شکل پروفشار بدون تأثیر نیست. آنها همچنین ثابت کردند که پروفشار سیبری پس از مدت کوتاهی از محل تشکیل خود حرکت می‌کند و همان طوری که به عرضهای جنوبی‌تر می‌رسد، دمای مسیر خود را کاهش می‌دهد و تغییر شکل پیدا می‌کند [4، صص 2428-2449].

زانگ و همکاران در سال ۱۹۹۶م. ضمن بررسی اقلیم‌شناسی موسمیها و امواج سرد در شرق آسیا دریافتند که شدت بالای پروفشار سیبری در ماههای دسامبر و ژانویه رخ می‌دهد، در صورتی که بیشترین فراوانی امواج سرد در شرق آسیا مربوط به ماههای نوامبر و مارس می‌باشد. آنها در بیان علت این عدم تطابق، با استفاده از نتایج کار خود و دیگران بیان می‌کنند که الگوی جوی مقیاس بزرگ شرق آسیا در دوره گذر نوامبر و مارس معمولاً دارای شاخص پایین است (زو و همکاران ۱۹۷۹م، نقل از زانگ ۱۹۹۶م)، ولی در دسامبر و ژانویه الگو بزرگ مقیاس منطقه با شاخص بالا، به‌وسیله یک الگوی قوی از پروفشار سیبری و یک جت استریم شدید متمایز می‌شود و این الگو علی‌رغم فراوانی هوای سرد در این ایام (ژانویه و دسامبر) برای رخداد امواج سرد مناسب نمی‌باشد.

آنها نتایج کار خود را در گزارش شماره ۳۸ PCMDI منتشر کردند [5، صص 4-5]. به همین دلیل امواج کوتاه بدون ایجاد مزاحمت یا آشوبی به‌طور سریع از میان چنین الگویی عبور می‌کنند [6، صص 918-903]. از طرف دیگر شاخص پایین الگوی زمینه عموماً با یک بلوکینگ در روی قاره آسیا و ناوه عمیقی در امتداد سواحل همراه می‌باشد که بسیار تاپیدار است و جریان شمال شرقی روی دریاچه بایکال را سبب می‌شود؛ همچنین برای آزاد کردن انرژی بالقوه امواج کوتاه نقش مانش را بازی می‌کند [5، ص 5].

ساهسamanوگلو و همکارانش در سال ۱۹۹۱م. ویژگیهای پروفشار سیبری را در دوره زمانی ۱۹۷۳ الی ۱۹۸۸م. مطالعه کردند. این محققان با استفاده از نقشه‌های ماهانه نیمکره



شمالی در دوره مذکور، موقعیت جغرافیایی مرکز پروفشار، مقدار فشار مرکزی، دمای متوسط جو بین لایه‌های 500 - 1000 هکتوپاسکال و تغییرات درازمدت پروفشار را بررسی کردند [7، ص 104].

نتایج تحقیق آنان نشان داد که اغلب اوقات مرکز پروفشار سیبری در محدوده 90-100 درجه طول شرقی و 40-55 درجه عرض شمالی قرار دارد و در 80 درصد از ماههای مطالعه شده، مقدار فشار مرکزی پروفشار بیشتر از 1030 هکتوپاسکال بوده است در نتیجه می‌تواند گفت که قویتر از پروفشارهای جنوب حاره‌ای است.

در ایران نیز چندین کار راجع به پروفشار سیبری و تأثیر آن بر اقلیم کشور صورت گرفته است، از جمله تدقیق زاده در سال 1366 طی تحقیقی با عنوان «بررسی سیل پاییز 1365 از نظر هواشناسی» درباره سامانه سیبری ابراز عقیده کرد. او معتقد است: مرکز فشار زیادی که روی سیبری ایجاد می‌شود و فشار درون آن گاهی بالغ بر 1085 هکتوپاسکال می‌شود، توده هوای بسیار سرد و سنگینی است که گاهی اوقات مرکز آن بین دریاچه بالخاش و بایکال قرار می‌گیرد؛ در این موقع هوای بسیار سرد از نواحی شمال شرقی داخل کشور می‌شود و دمای حدائق نواحی شمال استان خراسان به کمترین مقدار خود می‌رسد؛ بتدریج این توده هوا تمام ایران را فرا می‌گیرد و دمای اکثر نقاط ایران حتی استان خوزستان به مقدار قابل توجهی کاهش پیدا می‌کند [8، صص 51-56].

بلیغی در سال 1375 هـ. ش. در بررسی تأثیر پروفشار سیبری بر اقلیم خراسان نتیجه گرفت که بیش از 90 درصد از یخبانهای پاییزه خراسان را سامانه مذکور باعث شده است [9، صص چکیده]. چو خاچی زاده مقدم در سال 1376 هـ. ش. در رساله دکترای خود با عنوان آثار سینوپتیکی پروفشار سیبری روی دمای شمال شرقی ایران در دوره زمانی 1984-1988 نتیجه گرفت که ماه اکتبر همزمان با تشکیل پروفشار سیبری بوده است؛ در این صورت از فراوانی و شدت بالایی برخوردار نیست، ولی از ماه نوامبر به بعد با افزایش تعداد روزهای تشکیل پروفشار سیبری، مقادیر فشار مرکزی آن نیز افزایش پیدا کرده و در نتیجه با گسترش نصف‌النهاری، زبانه جنوب غربی سامانه مذکور با عبور از شمال شرق کشور، موجب کاهش شدید دما در منطقه می‌شود [10، صص 10-11].

علیجانی و براتی در سال 1376 هـ. ش. با مطالعه الگوی سینوپتیکی یخبانهای بهاره ایران و نقش پروفشار سیبری در این موضوع نتیجه گرفتند که یخبانهای بهاره ایران با توسعه

پروفشار اروپا از غرب به ایران و ادغام شدن آن با زبانه‌های قوی پروفشار سیبری روی می‌دهد؛ در این حالت چنانچه محور ناوه در سامانه مذکور، شمال شرقی – جنوب غربی باشد، یخباندهای شدید رخ می‌دهد ولی اگر محور ناوه، شمالی-جنوبی باشد، از شدت یخبانها کاسته می‌شود [۱۱، صص ۱۲۱-۱۳۵].

علیجانی در سال ۱۳۶۹ هـ. ش. طی مقاله‌ای ضمن بررسی عوامل و شرایط پروفشار سیبری به مقایسه دو الگوی متفاوت از این پروفشار پرداخت. او عامل اصلی شکلگیری این سامانه را امواج بادهای غربی می‌داند [۱۲، صص ۴۱-۵۱].

از بررسی مطالعات انجام شده چنین استنباط می‌شود که پروفشار سیبری یک مرکز پروفشار حرارتی است که از اوایل دوره سرد سال (اکتبر) در محدوده جغرافیایی بین 60° - 120° طول شرقی و 40° - 60° عرض شمالی روی خشکهای وسیع آسیا و سیبری تشکیل شده است و با تغییرات مکانی اندک در محل تشکیل خویش، زبانه‌هایی را به اطراف از جمله شمال و شمال شرق ایران می‌فرستد؛ در این حالت سلول مرکزی آن تحت تأثیر شرایط ترمودینامیکی سطوح میانی تروپوسفر (تراز ۵۰۰ هکتوپاسکال) تشدید یا تضعیف می‌شود، بنابراین پروفشارهای مهاجر غربی که در اثر امواج بادهای غربی وارد منطقه مطالعه شده می‌شوند، در این تحقیق جزء پروفشار سیبری محسوب نشده‌اند.

۲- مواد و روشها

در این پژوهش برای تعیین زمان ورود پروفشار سیبری به منطقه مطالعه شده، انتخاب معیاری که نشاندهنده ورود پروفشار سیبری به سواحل جنوبی خزر باشد، مهمترین مسئله‌ای بود که باید ابتدا مشخص می‌شد. با علم به اینکه دما و فشار دو مؤلفه اصلی سامانه‌های پروفشار می‌باشند و با توجه به اینکه یوهی دینگ و کریشنامورتی در سال ۱۹۸۷م. طی سلسله مطالعاتی نشان داده‌اند که نفوذ و گسترش پروفشار سیبری به چین با بادهای شدید و تنزل ناگهانی دما همراه است و برخی موقع در حدود 10°C در یک دوره ۲۴ ساعته دمای هوا را پایین می‌آورد [۴، صص ۲۴۲۸-۲۴۴۹]. و همچنین با توجه به اصول قانون عمومی گازها که فشار هوا با دمای توده هوا و حجم آن رابطه معکوس و با چگالی آن رابطه مستقیم دارد، یعنی با کاهش دما از حجم توده هوا کاسته شده و در نتیجه فشار هوا در آن نقطه افزایش پیدا می‌کند. برای ورود و حضور پروفشار سیبری به منطقه مطالعه شده، سه معیار دمای



حداقل، میزان فشار ایستگاهها و حضور زبانه پروفشار سبیری با ایزوبار حداقل 1020 هکتوپاسکال در نظر گرفته شد (لازم به ذکر است که از معیار آخر بليغی [9] و چوخارچیزاده [10] نيز در بررسی آثار پروفشار سبیری بر اقلیم شمال شرق ایران استفاده شده است). بنابراین داده‌های دمای حداقل و فشار ایستگاهها منتخب در ساعت صفر گرینویچ 3/5 (بامداد محلی) برای ماههای سپتامبر، اکتبر، نوامبر و دسامبر در دوره 10 ساله آماری (1971-1980 م.) از بخش خدمات ماشینی و آرشیو سازمان هواشناسی اخذ شد و در جدولهای مخصوصی ثبت گردید [13]; سپس روزهایی را که دمای حداقل و فشار ایستگاهها، نوسانهای چشمگیری داشته‌است، متمایز شد و برای نشان دادن عینی تر روزهای مورد نظر داده‌های دمای حداقل و فشار در نرم‌افزار اکسل به صورت نمودار ترسیم شد. در مرحله بعد برای به‌دست آمدن اطمینان از اینکه نوسانهای مذکور مربوط به پروفشار سبیری بوده است یا نه، برای روزهای متمایز شده، نقشه‌های هوای سطح زمین و تراز 500 هکتوپاسکال ساعت صفر گرینویچ (اطلس نقشه‌های روسی)، از جهت حضور یا عدم حضور زبانه پروفشار سبیری، بررسی شدند [14]، در این بررسی تمام روزهایی که سه شرط تغییرات ناگهانی دما و فشار در ایستگاهها و همینطور حضور زبانه پروفشار سبیری را به‌طور همزمان دارا بودند، به عنوان مرحله آغازین ورود پروفشار سبیری به سواحل جنوبی دریای خزر تعیین شد.

3- یافته‌های تحقیق

این تحقیق با هدف تعیین زمان ورود پروفشار سبیری به سواحل جنوبی دریای خزر انجام گرفته است. در فرایند انجام تحقیق به برخی ویژگیهای دیگر پروفشار سبیری و همینطور دیگر پروفشارهای سرد نیز برخورده است که بررسی و ارائه شده‌اند. با توجه به معیارهایی که ذکر شد، تعیین زمان ورود پروفشار سبیری به منطقه در طول یک دوره آماری ده ساله بررسی شده است. نتایج این بررسی (که در ارتباط ویژگیهای پروفشار سبیری، در زمان ورود به سواحل جنوبی دریای خزر بوده است) در جدول 1 و وضعیت عناصر اقلیمی ایستگاههای منتخب منطقه در روز قبل از ورود، روز ورود و روز بعد از ورود پروفشار سبیری در جدول 2 ارائه شده است. همان‌طور که در جدول 1 مشاهده می‌شود، بیشترین فراوانی ورود پروفشار سبیری به منطقه (به میزان 70 درصد) مربوط به ماه اکتبر می‌باشد که در این ماه بیش از 71 درصد ورودها (50 درصد کل موارد) به دهه دوم اکتبر اختصاص داشته

است به عبارت دیگر حدود ۵۰ درصد از فراوانیهای ورود پرفشار سبیری به مقطع زمانی دهه دوم اکتبر - برابر با دهه سوم ماه مهر - تعلق گرفته است (جدول ۱). براساس جدول ۱، سلول مرکزی پرفشار سبیری در ۷۰ درصد از سالهای آماری بین عرضهای ۴۰ - ۵۰ درجه شمالی و طول جغرافیایی ۷۰ - ۹۰ درجه شرقی مستقر بوده است. در صورتی که در ۸۰ درصد از مواردی که زبانه پرفشار سبیری روی سواحل جنوبی دریای خزر وارد شده است، موقعیت مکانی سلول مرکزی اش در حوالی دریاچه‌های بالخاش و بایکال استقرار داشته است. همچنین ورود و تأثیرگذاری زبانه‌های پرفشار سبیری به سواحل جنوبی دریای خزر به شکل دو الگوی سینوپتیکی مستقل و ادغامی صورت گرفته است (ستون آخر جدول ۱) که در ادامه به تشریح هر یک پرداخته خواهد شد. لازم به ذکر است که میانگین ویژگیهای پرفشار سبیری در زمان ورود به سواحل جنوبی دریای خزر در سطر آخر جدول ۱ ارائه شده است.

جدول ۱ ویژگیهای پرفشار سبیری در زمان ورود به سواحل جنوبی دریای خزر در طول دوره آماری [۱۵]

زمان ورود		موقعیت ریاضی سلول مرکزی پرفشار		موقعیت مکانی مرکز پرفشار سبیری	ایزوبار تأثیرگذار (hpa)	فشار سلول مرکزی (hpa)	الکوی سینوپتیک	سال
میلادی	شمسی							
14	22	85	45	شرق دریاچه بالخاش	1020-25	1035	ادغامی	1971
اکتبر	مهر	شرقی	شمالی					
25	۳	97	48	جنوب غرب دریاچه بایکال	1020-25	1045	ادغامی	1972
اکتبر	آبان	شرقی	شمالی					
29	۷	81	48	شرق دریاچه بالخاش	1020	1030	ادغامی	1973
سپتامبر	مهر	شرقی	شمالی					
13	21	98	50	جنوب غرب دریاچه بایکال	1020	1050	ادغامی	1974
اکتبر	مهر	شرقی	شمالی					
19	27	104	53	غرب دریاچه بایکال	1025	1040	ادغامی	1975
اکتبر	مهر	شرقی	شمالی					
1	10	75	44	جنوب دریاچه	1030-35	1045	مستقل	1976



نومبر	آبان	شرقی	شمالی	بالخاش				
20	28	70	47	غرب دریاچه بالخاش	1020_25	1030	مستقل	1977
15	23	71	43	جنوب غرب دریاچه بالخاش	1025	1030	ادغامی	1978
11	20	91	44	جنوب شرق کوههای تئین	1030	1045	ادغامی	1979
6	14	64	65	شمال شرق کوههای اورال	1015_20	1035	ادغامی	1980
18	27	83/5	48	-	1024	1038/5	-	میانگین



انزلي

بابلسر

گرگان

جدول 2 بررسی وضعیت عناصر اقلیمی ایستگاههای منتخب منطقه در روز قبل از ورود، روز ورود و روز بعد از ورود پرفشار سبیری [15]

1975			1974			1973			1972			1971			عنصر اقلیمی	ایستگاه
20 اکتبر	19 اکتبر	18 اکتبر	14 اکتبر	13 اکتبر	12 اکتبر	30 سپتامبر	29 سپتامبر	28 سپتامبر	26 اکتبر	25 اکتبر	24 اکتبر	15 اکتبر	14 اکتبر	13 اکتبر		
1027/3	1026/1	1026/6	/8 1024	1025/6	1021/6	1023/3	1025/3	1026/4	1022/7	1024/3	1018/1	1023/3	1023/9	1024/3	فشار	انزلي
0	2	13	0	0	0	0	0	5/5	0	0	0	0	0	0	بارش	
14	13	13	11	13	13	17	16	15	18	16	15	15	13	14	دما	
14	13	12	9	13	12	16	16	15	18	16	15	15	13	14	دماي شبتم	
94	94	95	88	95	97	92	94	96	96	99	96	93	89	97	روطوبت نسبتي	
1027/5	1026/4	1026/4	/3 1024	1024/8	1023/8	1019/7	1024/1	1024/8	1021/2	1022/5	1017/1	1022/1	1021/7	1022/4	فشار	
0	0	15	0	0	0	0	0	0	0	0	0	0	0	0	بارش	
12	13	13	7	12	10	12	11	10	17	13	13	13	11	13	دما	
12	11	13	6	12	10	12	11	10	16	13	12	12	11	12	دماي شبتم	
96	96	96	95	96	98	88	94	98	94	96	96	94	94	96	روطوبت نسبتي	
1025/8	1024	1023/7	1020	1021/5	1019/6	1016/8	1021/3	1021/3	1016/6	1016/8	1012/6	1017/7	1017/1	1018/9	فشار	بايلسر
0	0	1/2	0	0	0	0	0	0	0	0	0	0	0	0	بارش	
10	10	14	12	12	12	11	11	9	16	15	14	14	13	13	دما	
6	9	12	1	2	7	9	11	8	14	7	9	9	6	8	دماي شبتم	

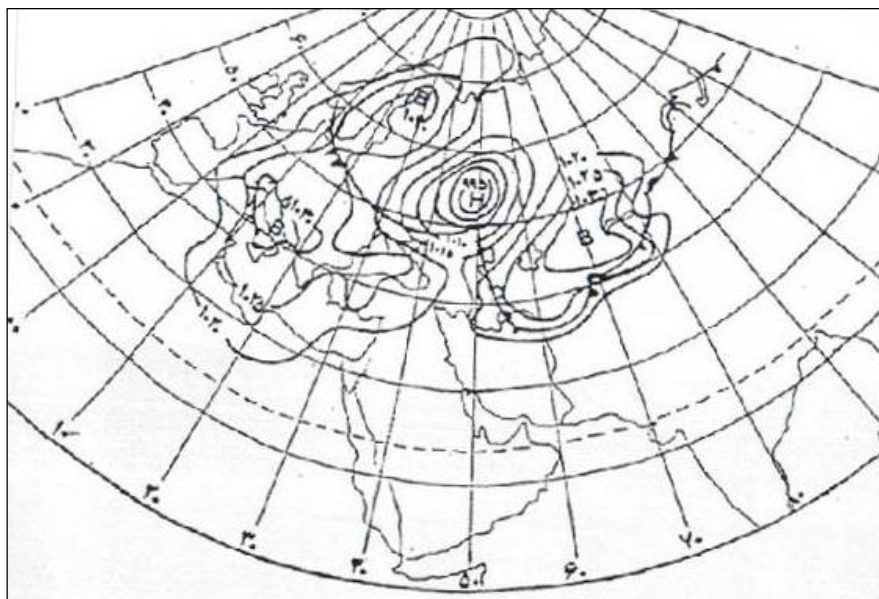
امامه جدول ۲															رطوبت نسبی	
74	85	89	39	49	63	76	78	81	80	52	68	68	59	64		
1980			1979			1978			1977			1976			عنصر اقلیمی	ایستگاه
7	6	5	12	11	10	16	15	14	21	20	19	2	1	31		
اکتبر	اکتبر	اکتبر	نومبر	نومبر	نومبر	اکتبر	اکتبر	اکتبر	اکتبر	اکتبر	اکتبر	نومبر	نومبر	اکتبر	فشار	انزلی
1021/8	1022/7	1014/7	1028/1	1031/1	1031/4	1019	1024/1	1028	1017/9	1019/7	1028/5	1020/7	1027/3	1033/2	بارش	
			4	0	0	4	0/4	0/2	81	0/8	0	18	0	0	12	
15	16	14	9	12	12	14	14	15	12	12	11	7	6	9	دما	
14	16	13	9	11	12	14	13	15	11	10	11	6	6	8	دما شبتم	
90	83	85	88	90	94	96	89	95	89	90	95	95	98	93	رطوبت نسبی	
1021	1021/4	1014/8	1028/7	1031/4	1031/9	1019	1023/5	1027/5	1015/9	1018/6	1024/8	1021/1	1021/8	1034	فشار	بابلسر
0	3	0	0	0	11	0	0	43	3/3	0	47	0	0	0	بارش	
17	17	15	8	11	15	13	13	15	15	16	16	5	4	7	دما	
17	16	15	9	11	15	12	13	15	15	13	16	15	4	5	دما شبتم	
90	84	90	97	95	96	94	96	94	96	94	98	94	97	81	رطوبت نسبی	
1017/8	1017	1011/4	1025/1	1027/6	1028/1	1016	1020/3	1023/6	1010/7	1014/8	1023/3	1018/3	1025/9	1023/5	فشار	گرگان
0	0	2	0	0		0	0	0	0/1	.02	8	0	0	0/4	بارش	
18	17	20	9	10	12	13	13	15	13	13	13	6	4	5	دما	

15	13	19	7	9	12	9	9	7	12	12	13	13	2	3	دماجی شبینم	
74	71	91	82	90	94	77	77	58	91	94	98	74	84	84	رطوبت نسبی	

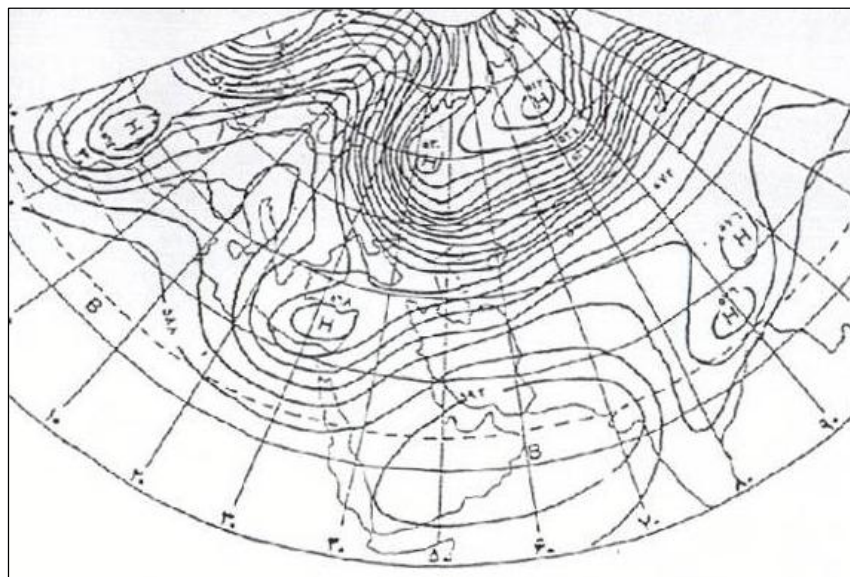


4- الگوی مستقل

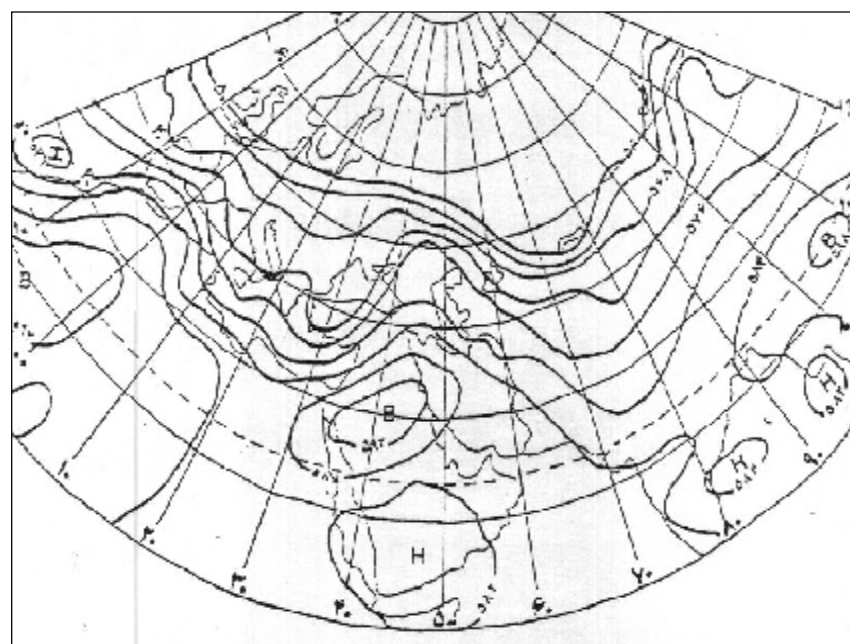
در الگوی مستقل، موقعیت استقرار سامانه سیبری در شرق و شمال دریای خزر است که در این حالت ایزوبارهای زبانه جنوب غربی آن امکان تأثیر بر منطقه را پیدا می‌کند. فراوانی الگوی مستقل فقط (20 درصد) و تنها در سالهای 1976 و 1977 م. مشاهده شده است. نمونه مربوط به سال 1977 م. در شکل 1 نیز مشاهده می‌شود. در الگوی سال 1977 م. یک سامانه پرفشار مهاجر هم در غرب دریای خزر حضور دارد. این پرفشار مهاجر وابسته به مراکز کم ارتفاع نسبتاً قوی است که در سطوح میانی تروپوسفر (تراز 500 هکتوپاسکال) و در شرق و شمال شرق اروپا استقرار دارند (شکل 2). همان طور که در نقشه سطح زمین روز 20 اکتبر سال 1977 م. در شکل 3 مشاهده می‌شود، زبانه جنوبی کمپشنار شرق اروپا تا قسمتهای شمالی دریای خزر گسترش پیدا کرده و مانع از ادغام پرفشار سیبری و پرفشار مهاجر (که بترتیب در شرق و غرب خزر مستقر هستند) شده است.



شکل 1 نقشه ساعت 00 روز 20 اکتبر 1977 م. سطح زمین



شکل ۲ نقشه ساعت ۰۰ روز ۲۰ اکتبر ۱۹۷۷ م. تراز ۵۰۰ hpa

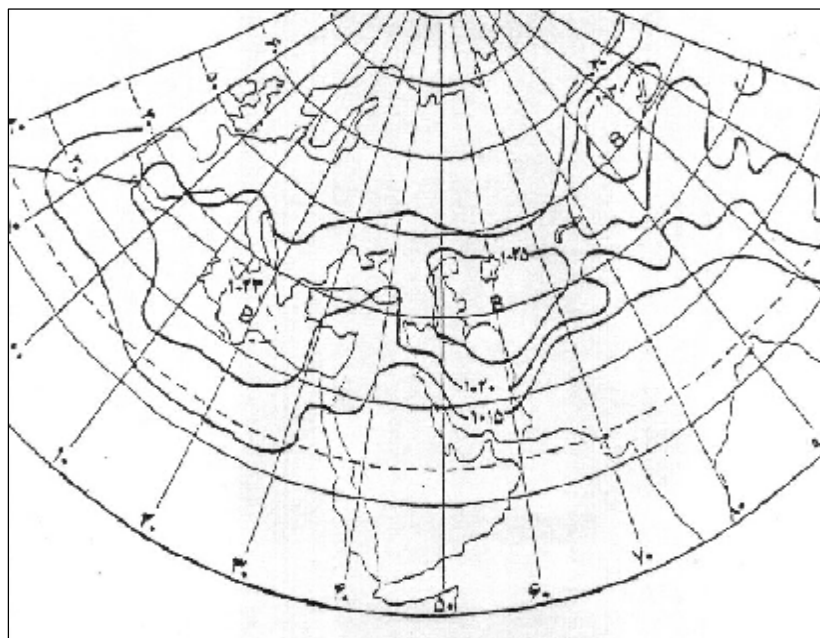




شکل 3 نقشه ساعت 00 روز 13 اکتبر 1971 م. تراز 500 hpa

5- الگوی ادغامی

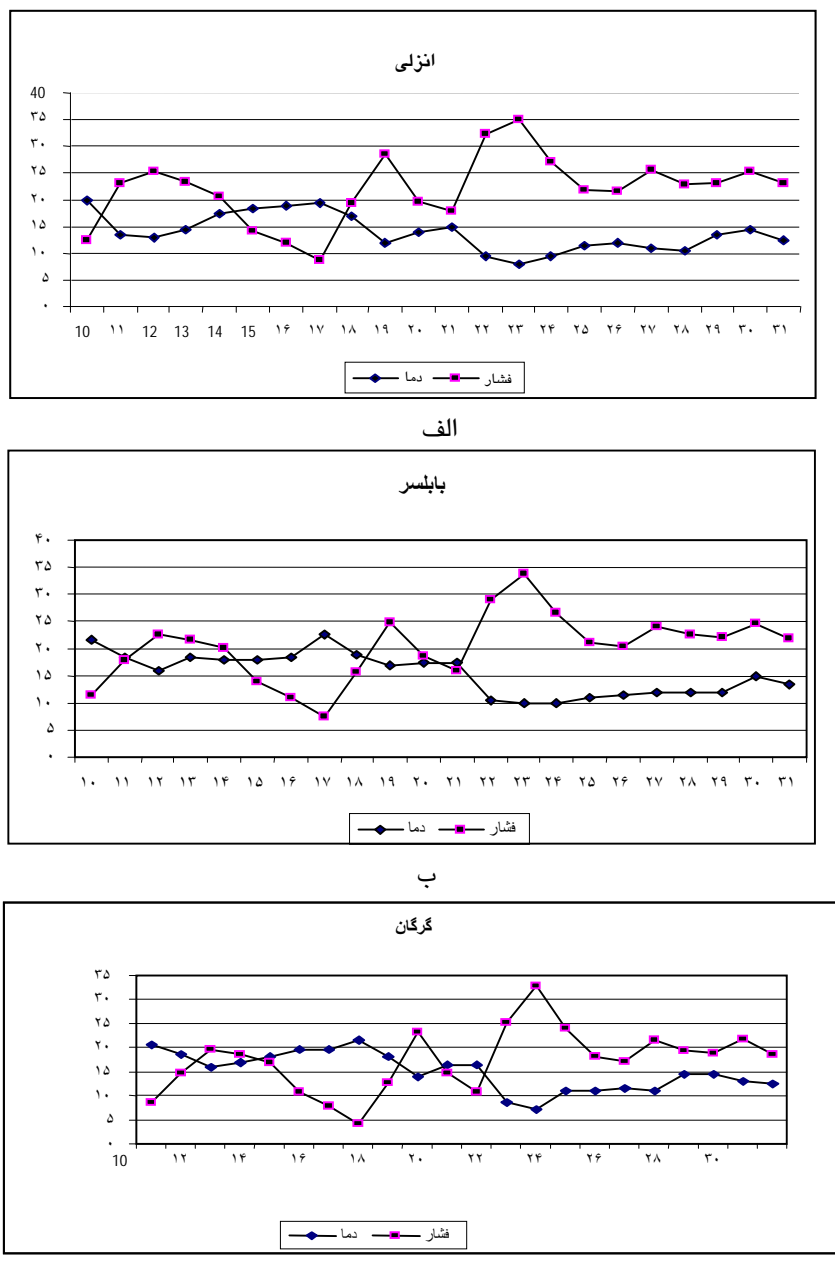
الگوی دیگر، ادغامی نام گرفته است. این الگو معمولاً از ادغام پرفشار سیبری با پرفشارهای مهاجری که با جابه‌جایی در امتداد مسیر بادهای غربی به سمت شرق حرکت کرده و به ناحیه خزری می‌رسند به وجود می‌آیند (شکل‌های 3 و 4). در این شرایط معمولاً کمربندی از سامانه‌های پرفشار از آسیای شمال شرقی تا شرق و جنوب اروپا به وجود می‌آید. در چنین شرایطی نفوذ زبانه‌های پرفشار به منطقه خزر به صورت الگوی ادغامی صورت می‌گیرد. فراوانی این شرایط معادل 80 درصد از سالهای آماری را شامل می‌شود.



شکل 4 نقشه ساعت 00 روز 13 اکتبر 1971 م. تراز 500 hpa

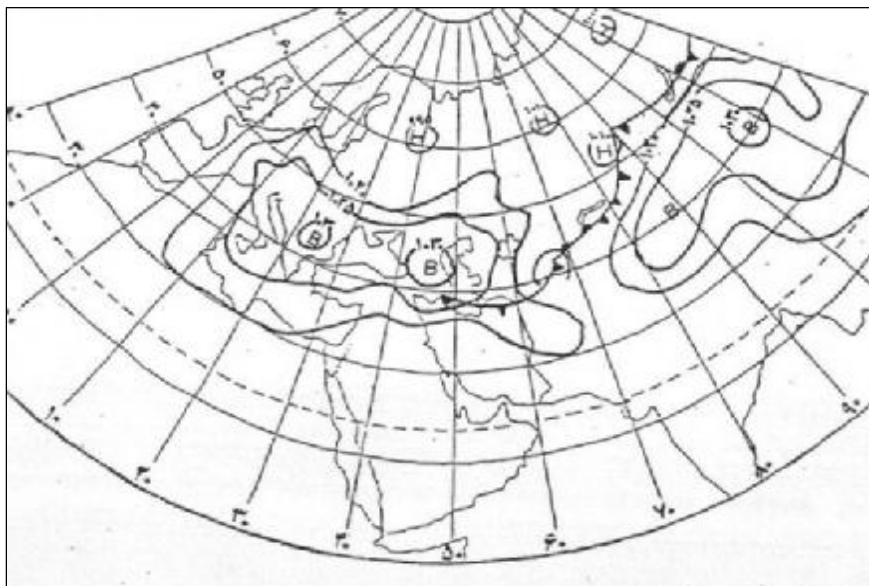
6- تحلیل سینوپتیکی

به منظور ارائه تحلیلی جزئی‌تر از چگونگی ورود پرفشار سیبری به سواحل جنوبی دریای خزر، الگوی سال ۱۹۷۷م. (که یک نمونه از الگوهای مستقل به حساب می‌آید) به عنوان نمونه انتخاب شد و مورد تحلیل سینوپتیکی قرار گرفت. در این سال همان طوری که در شکل ۵ مشاهده می‌شود، تا روز ۱۸ اکتبر (برابر با ۲۶ مهر) چند مورد تغییرات قابل توجه در فشار و دمای ایستگاههای مطالعه شده مشاهده شده است.



شکل ۵ سری زمانی دما و فشار ایستگاههای مطالعه شده از روز ۱۰ - ۳۱ اکتبر سال ۱۹۷۷ م.

اما در همه این موارد، نقشه‌های سطح زمین اثری از حضور زبانه پرفشار سیبری را نشان نمی‌دهند. به این معنا که کاهش دما و افزایش فشار در ایستگاههای منطقه با حضور زبانه پرفشار سیبری همراه نبوده است تا اینکه در روز 19 اکتبر سامانه پرفشار مهاجر در منطقه حاکمیت پیدا می‌کند. سلولهای مرکزی این سامانه با 1030 هکتوپاسکال فشار، در غرب دریای خزر و نیمه جنوبی اروپا مستقر شده و زبانه‌های آن ضمن تأثیر بر نواحی شمال غرب، شمال و شمال شرق کشور تا شرق دریاچه آرال پیشروی کرده‌اند (شکل 6).

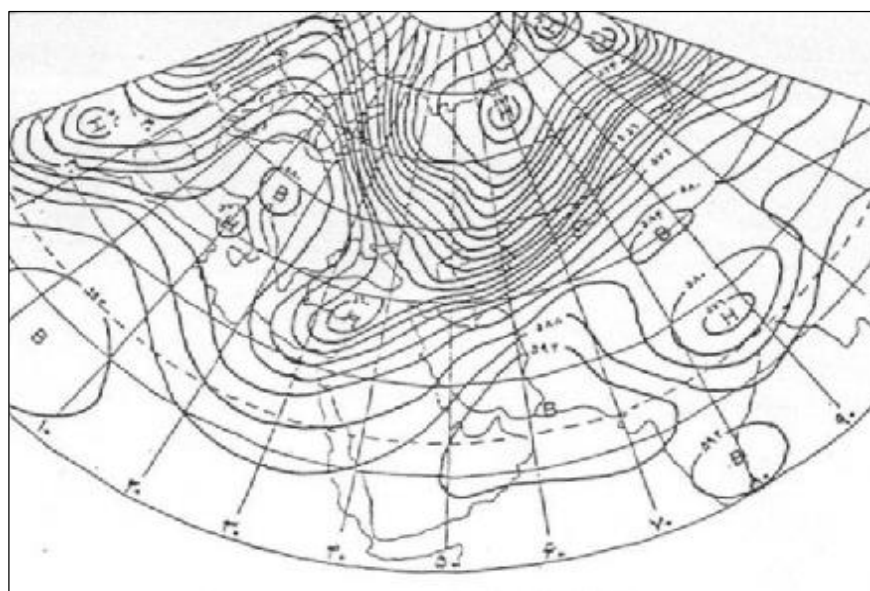


شکل 6 نقشه ساعت 00 روز 19 اکتبر 1977 م. سطح زمین

در چنین شرایطی زبانه‌های سامانه مذکور با چرخش آنتی‌سیکلونی سبب فرارفت هوای سرد از عرضهای بالا، از جنوب کوههای اورال و ارتفاعات مرکزی روسیه به روی سواحل جنوبی خزر شده است. در این روز میزان فشار ایستگاههای منطقه به طور میانگین 9/5 1024/8 هکتوپاسکال افزایش پیدا کرده است و به 1028/5 هکتوپاسکال در انزلی،



هکتوپاسکال در بابلسر و ۱۰۲۳/۳ هکتوپاسکال در گرگان رسیده است (جدول ۲، شکل ۵). همچنین مهمترین ویژگی نقشه سطح زمین در این روز برای قاره آسیا، استقرار پرفشار سیبری با دو سلول مرکزی در انتهای ترین قسمت جنوبی مکان نرمال خویش (مدار 40° شمالی) بوده است که سلول اصلی آن با فشار مرکزی ۱۰۳۰ هکتوپاسکال در طول جغرافیایی 108° شرقی و در جنوب فلات مغولستان قرار گرفته است (شکل ۶). لازم به ذکر است که شرایط مذکور باعث گسترش سامانه‌های کم‌فارش جبهه‌ای به روی دشت‌های وسیع سیبری و آسیای مرکزی شده است. جبهه‌های سرد سامانه مذکور به صورت یک مجموعه گستردۀ سیکلونی (سیکلون فامیلی) با امتداد شمال شرق - جنوب غرب از جلگه سیبری تا سواحل جنوبی خزر امتداد یافته‌اند. نقشه سطوح میانی تروپوسفر در روز ۱۹ اکتبر نشان‌دهنده شاخص مداری پایین در بادهای غربی یا اصطلاحاً غلبه حرکت نصف‌النهاری می‌باشد (شکل ۷). این شرایط شدت انتقال انرژی بین عرض‌های جغرافیایی بالا و پایین را نشان می‌دهد؛ همچنین مشاهده کم ارتفاعه‌های بریده و پرفشار مانع تأیید‌کننده این نکته می‌باشد (شکل ۷). پشتۀ گرمی که تا اروپای غربی و حتی سواحل غربی اسکاندیناوی نفوذ کرده است و باعث مستقر شدن یک سلول بسته با کنتور ۵۸۰ ژئوپتانسیل دکامتر در شمال ایتالیا شده است، با فرارفت هوای سرد روی دریای سیاه، شرق مدیترانه و نیز شمال دریاچه‌های خزر و آرال، سبب شکلگیری ناوه‌ای عمیق با سه مرکز کم ارتفاع بریده با خطوط کنتور ۵۱۲ و ۵۱۶ ژئوپتانسیل در شمال و شمال شرقی سرزمین سیبری نیز شده است (شکل ۷).



شکل 7 نقشه ساعت ۰۰ روز ۱۹ اکتبر ۱۹۷۷ م. تراز 500 hpa

لازم به ذکر است که مرکز کم ارتفاع دیگری نیز با کنتور ۵۶۰ ژئوپتانسیل دکامتر در داخل ناوه مذکور روی شمال شرق مدیترانه شکل گرفته است. قرارگیری نیمه شرقی ناوه فوق در شمال فلات ایران و روی آسیای میانه تا شمال دریاچه بایکال، ضمن توجیه وجود سیکلونهای فامیلی سطح زمین، دلالت بر ریزش هوای سرد روی سواحل جنوبی دریای خزر، افت دما و افزایش فشار درون ایستگاههای مطالعه شده (در این روز) دارد. نتیجه این وضعیت استقرار دو مرکز پرفشار حرارتی وسیع می‌باشد که در شکل ۵ بخوبی نشان داده شده است. همینطور استقرار سلول پرارتفاع جنوب حاره با کنتور ۵۹۲ ژئوپتانسیل دکامتر در جنوب شرق ایران سبب تمایل محور ناوه مذکور و در نتیجه مانع از امتداد یافتن محور ناوه مذکور روی ایران شده است.

روز بعد (۲۰ اکتبر) به دلیل تغییر آرایش سینوپتیکی خطوط کنتور در تراز ۵۰۰ هکتوپاسکال (شکل ۲)، مرکز کم فشاری که روز ۱۹ اکتبر با فشار مرکزی ۹۵۵ هکتوپاسکال در شمال ارتفاعات مرکزی روسیه و در عرض 61° شمالی و طول 39° شرقی قرارداشت، به عرضهای پایینتر جابه‌جا می‌شود؛ سپس به یک مرکز کم فشار قوی با چهار منحنی بسته تبدیل می‌گردد (شکل ۱). آرایش سینوپتیکی نقشه تراز ۵۰۰ هکتوپاسکالی در این روز نوعی جابه‌جایی به سمت غرب را در مکان‌گزینی سامانه‌ها نشان می‌دهد. این جابه‌جایی به دلیل افزایش طول موج جریانهای غربی و همینطور افزایش پارامتر کوریولیس (ناشی از حرکت نصف‌النهاری شدید در ضلع غربی پشته) می‌باشد. به همین دلیل با گسترش ناوه شمال آسیا به سمت غرب، یک مرکز کم ارتفاع نیز با کنتور ۵۲۰ ژئوپتانسیل دکامتر در غرب کوههای اورال مستقر شده است. این جابه‌جایی با شرایط دینامیکی جو منطقه هماهنگ بوده است و همچنین نشاندهنده جابه‌جایی ناوه شمال آسیا به سمت جنوب غرب نیز می‌باشد. شایان ذکر است که جابه‌جایی و گسترش ناوه مذکور به سمت عرضهای جنوبی و طولهای غربی، باعث جابه‌جایی و تغییر وضعیت پرفشارهای مهاجر نسبت به روز قبل شده است. به طوری که در



نقشه‌های سطح زمین مشاهده می‌شود، پروفشوار مهاجر در روز 20 اکتبر از گسترش مداری روز قبل به حالت نصف‌النهاری تغییر شکل پیدا کرده و سلولهای مرکزی آن نیز از نظر شدت و موقعیت تغییر کرده است (شکلهای 1، 6). یکی از سلولهای آن روی کشور ایتالیا و دیگری در شمال شرق شبه جزیره اسکاندیناوی با فشار مرکزی 1030 هکتوپاسکال مستقر شده است. در نهایت با حرکت پروفشوار مهاجر به سمت غرب، فضا برای گسترش و توسعه زبانه‌ها به سمت غرب و ورود آن به منطقه مطالعه شده مهیا شده است (شکلهای 1 و 5 مقایسه شود). در این روز سلول مرکزی سامانه سبیری با فشار 1030 هکتوپاسکال در موقعیت مکانی غرب دریاچه بالخاش استقرار دارد. در این موقعیت مکانی، ایزوبار 1020 هکتوپاسکالی پروفشوار سبیری با عبور از شمال شرق ایران با جهت شرقی-غربی به انتهایی‌ترین نقطه در قسمت جنوب غربی سواحل خزر می‌رسد؛ سپس از آنجا با جهت جنوب به شمال از میان دریایی خزر عبور می‌کند.

به این ترتیب روز 20 اکتبر برابر با 28 مهر در سال 1977 م. به عنوان اولین ورود سامانه پروفشوار سبیری به منطقه مطالعه شده تلقی شده است (شکل 1). در این روز به دلیل چرخش آنی سیکلونی هوا در سامانه سبیری، هوای خشک و کم فشارتری از عرضهای همچوار جنوب شرقی به منطقه جنوب خزر فرارفت شده است و بر خلاف انتظار، میزان فشار ایستگاهها نسبت به روز قبل (19 اکتبر) به طور محسوسی کاهش یافته است. به طوری که در ایستگاه ارزلی از 5/1028 به 7/1019 در 1024/8 به 6/1018 هکتوپاسکال، در بابلسر از 1024/8 به 5/1014 هکتوپاسکال و در گرگان از 3/1023 به 8/1014 رسیده است (جدول 2، شکل 5).

البته همان‌طور که قبلاً نیز اشاره شد، این اختلاف به استقرار پروفشوار مهاجری مربوط می‌شود که در روز قبل روی منطقه حاکم بوده و با توجه به ماهیت بسیار سرد خود، سبب افزایش قابل توجه فشار هوا در ایستگاه‌های مذکور شده است. از طرف دیگر همزمان با ورود سامانه پروفشوار سبیری رطوبت نسبی ایستگاهها نیز کاهش قابل توجهی داشته است. به طوری که رطوبت نسبی در ارزلی از میزان 95 درصد به 90 درصد و در بابلسر و گرگان از 98 درصد به 94 درصد کاهش یافته است (جدول 2). کاهش در رطوبت نسبی (که تقریباً در دمای ثابت رخ داده است) بیانگر خشکی هوای آن است؛ زیرا جریانهای سبیری قبل از ورود به سواحل خزر از سرزمینهای بری عبور کرده‌اند که این امر موجب تضعیف جبهه سرد مستقر در جنوب دریایی خزر شده است. از طرف دیگر پروفشوار سبیری با فرارفت هوای

خشک سبب تضعیف فعالیت جبهه‌ای و کاهش یا قطع بارش نیز شده است (جدول ۲). بنابراین در ایستگاههای انزلی، بابلسر و گرگان که در روز قبل (۱۹ اکتبر) بترتیب ۱۸، ۴۷ و ۸ میلیمتر بارش داشته‌اند، در روز ورود پرسنل سپاهی (۲۰ اکتبر) هیچ بارشی را دریافت نکرده‌اند (جدول ۲، ستون مربوط به سال ۱۹۷۷ م.).

7- نتیجه‌گیری

- ۱- بیشترین فراوانی از نظر زمان آغاز فعالیت پرسنل سپاهی در سواحل جنوبی دریای خزر در طول دوره آماری، به میزان ۷۰ درصد و مربوط به ماه اکتبر (مهر) بوده است که در این ماه بیشترین فراوانی به میزان ۵۰ درصد نیز مربوط به دهه دوم اکتبر (که برابر با دهه سوم مهرماه می‌باشد) تعلق دارد (جدول ۱).
- ۲- استقرار سلول مرکزی سامانه سپاهی بین عرضهای جغرافیایی 40° - 50° شمالی و طول 70° تا 100° شرقی، موقعیت ریاضی مناسبی برای تأثیرگذاری زبانه‌های پرسنل سپاهی بر سواحل جنوبی دریای خزر می‌باشد؛ به طوری که این شرایط در کل دوره آماری در ۸۰ درصد از موارد مشاهده شده است.
- ۳- از نظر موقعیت مکانی، بهترین شرایط برای تأثیرگذاری زبانه‌های پرسنل سپاهی بر سواحل جنوبی دریای خزر، استقرار سلول مرکزی آن در حوالی دریاچه‌های بالخاش و بایکال می‌باشد. لازم به ذکر است که این شرایط در ۸۰ درصد از موارد مشاهده شده است.
- ۴- در ۷۰ درصد از موارد، اولین ورود پرسنل سپاهی به سواحل جنوبی خزر، توأم با کاهش میزان رطوبت نسبی و فشار ایستگاهها بوده است. در ۹۰ درصد از موارد هم هیچ بارشی در ایستگاهها به ثبت نرسیده است. شرایط مذکور، بیانگر خشکی جریانهای ورودی به وسیله این سامانه بوده است و پتانسیل ضعیف آن را در وقوع بارشهای منطقه بیان می‌کند. به نظر می‌رسد کاهش میزان فشار ایستگاهها همزمان با ورود زبانه‌های پرسنل سپاهی، به طور عمده به این دلیل باشد که این منطقه غالباً قبل از ورود پرسنل سپاهی، تحت استقرار سامانه‌های پرسنل مهاجر قرار می‌گیرد؛ به طوری که فرارفت هوای سرد عرضهای بالاتر به وسیله پرسنل مهاجر، موجب افزایش قابل ملاحظه فشار ایستگاهها می‌شوند. همینطور با توجه به موقعیت استقرار سلول مرکزی سامانه سپاهی در شرق خزر و چرخش آنتی‌سیکلونی آن، جریانهای گرمتر هوا را در جهت حرکت عقربه‌ها از عرضهای پایینتر یا



همجوار وارد منطقه می‌کند. بنابراین تحت این شرایط طبیعی است که میزان فشار نه تنها افزایش نداشته، بلکه کاهش هم داشته است.

5- ورود و تأثیر زبانه‌های پرفشار سبیری به سواحل جنوبی دریای خزر در دو الگوی سینوپتیکی مستقل و ادغامی صورت گرفته است که 80 درصد فراوانی مربوط به الگوی ادغامی می‌باشد.

8- منابع

- [1] لشکری، حسن؛ «مطالعه پراکندگی جغرافیایی و قوع آنتی‌سیکلونها بر روی ایران»؛ رشد جغرافیا، شماره 41، بهار 1375.
- [2] Borisov, A. A.; "Climates of the U.S.S.R"; *Lecture in geography*; Edited by Cyril Halstead, University of Glasgow, Oliver, Printed in Great Brittan, 1965.
- [3] Idolph, Paul; "Climates of the soviet union"; World Survey of Climatology. Volume, 7, *Department of Geography University of Wisconsin Milwaukee*, 1977.
- [4] Ding, Y. H. & T. N. Krishnamurti; Heat budget of the siberian high and the winter monsoon; *Monthly Weather Review* Vol, 115, 1987.
- [5] Zhang, Y. et. al.; Climatology of east asia winter monsoon and cold surges program for climate model diagnosis and intercomparison (PCMDI); No. 38, 1996.
- [6] Boyle, J.S.; Comparison of the synoptic condition in mid-latitudes accompanying cold surges over the Eastern Asia for the month of December 1974 and 1978. Part 1:monthly mean fields and individual events. *Mon. Wea. Rev.*, 114, 1986a.
- [7] علیجانی، بهلول؛ اقلیم‌شناسی سینوپتیک؛ انتشارات سمت، تهران، چ 1، 1381.
- [8] نقی‌زاده، حبیب؛ «بررسی سیل پاییز 1365 از نظر هواشناسی»؛ مجله رشد زمین‌شناسی، ش 6، 1366.

- [9] بليغى، مهدى؛ «ورود پرفسار سibirی به خراسان و تأثير آن بر اقلیم منطقه»؛ رساله کارشناسی ارشد، دانشگاه تربیت معلم، ۱۳۷۵.
- [10] چوخاچیزاده مقدم، محمد باقر؛ تحلیل سینوپتیک اثر پرفسار سibirی بر دمای شمال شرق ایران؛ رساله دکتری دانشگاه تهران، ۱۳۷۶.
- [11] علیجانی، بهلول و غلامرضا براتی؛ تحلیل سینوپتیک یخبندان فروردین سال ۱۳۶۶؛ فصلنامه تحقیقات جغرافیایی سال یازدهم، ش ۴۰، ۱۳۷۵.
- [12] علیجانی، بهلول؛ «چگونگی تشکیل فرابار سibirی و اثر آن بر اقلیم شرق ایران»؛ فصلنامه تحقیقات جغرافیایی، س ۵، ش ۱۷، ۱۳۶۹.
- [13] سازمان هواشناسی کشور؛ مرکز خدمات ماشینی، آمار روزانه عناصر اقلیمی استگاههای انزلی، بابلسر، گرگان در سالهای ۱۹۷۱ الی ۱۹۸۰ میلادی؛ تهران.
- [14] سازمان هواشناسی کشور؛ نقشه سینوپتیک روسی سالهای ۱۹۷۱ الی ۱۹۸۰ میلادی؛ کتابخانه مرکزی؛ تهران.
- [15] عزیزی، قاسم، یوسفی، حسن؛ زمانیابی ورود پرفسار سibirی به سواحل جنوبی دریای خزر؛ دانشگاه تهران، دانشکده جغرافیا، ۱۳۸۲.